

マグノンを用いた軽いボソン暗黒物質の直接探索

千草颯

高エネルギー加速器研究機構 (KEK) 素粒子原子核研究所 理論センター

2020/6/2 @ 新学術「地下宇宙」領域研究会

千草颯, 諸井健夫, 中山和則

Phys. Rev. D 101, 096013 (2020) [arXiv: 2001.10666]

ポイント

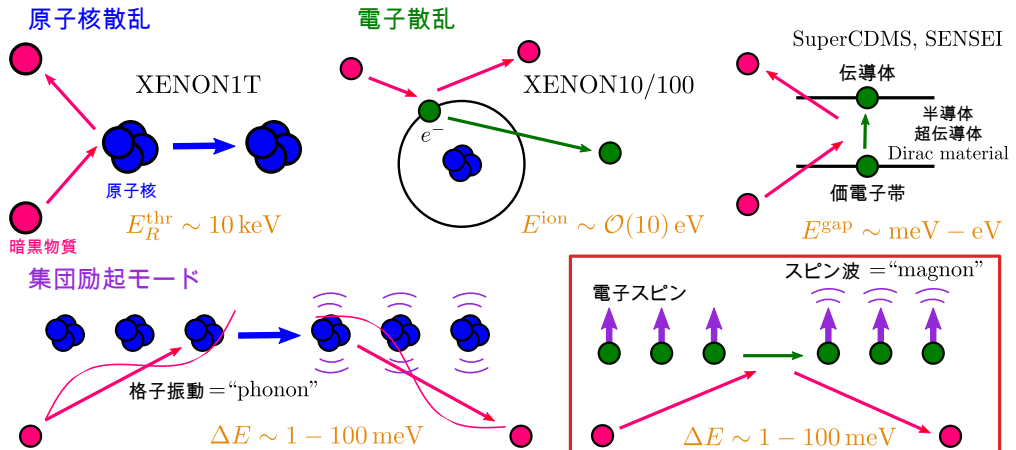
我々の論文のポイント

- ▶ 暗黒物質がマグノン（スピン波）に変換される過程の量子力学的定式化を（素粒子論屋さんに親しみの深いやり方で）行った
- ▶ アクションや暗黒光子にその計算を応用した
- ▶ 結果の図を描いた

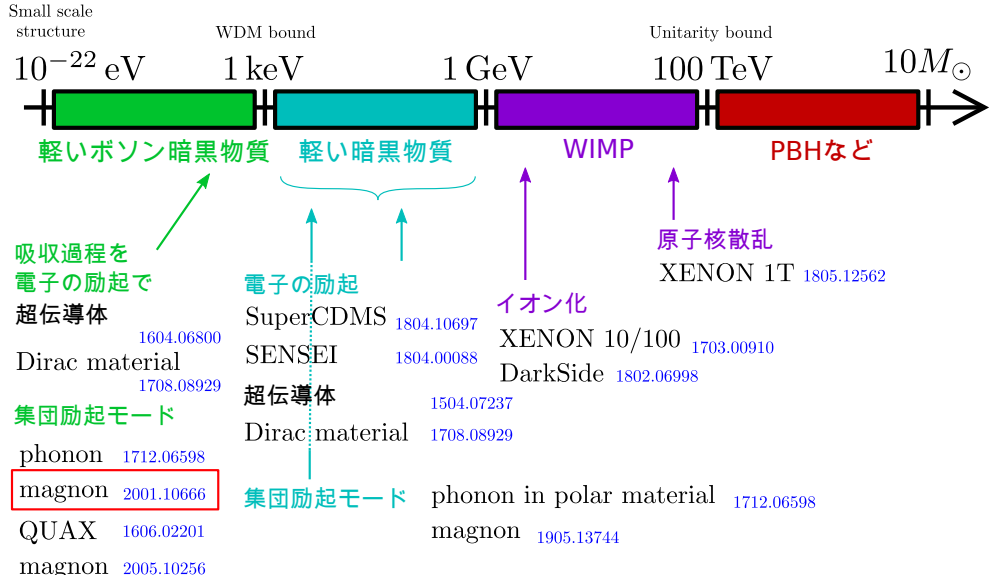
様々な直接探索手法

直接探索実験で探せる質量領域は、次の 2 点に大きく依存している

- ▶ 実験サイド： 検出に必要なエネルギーしきい値 E^{thr}
- ▶ 暗黒物質サイド： 散乱/吸収過程

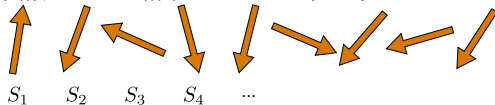


軽い暗黒物質の直接探索実験



磁気秩序の形成、強磁性体とスピン波

等間隔に並んだ格子上のスピン系を考える

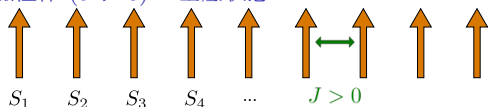


スピン間に相互作用 [exchange interactions]

ex) 1次元ハイゼンベルグ模型

$$H_{\text{Heisenberg}} = -J \sum_{\ell} \vec{S}_{\ell} \cdot \vec{S}_{\ell+1}$$

強磁性体 ($J > 0$) の基底状態



全体として有限の磁化を持つ

$$\vec{M} = g_e \mu_B \sum_{\ell} \vec{S}_{\ell} \quad \left(g_e \simeq 2, \mu_B = \frac{e\hbar}{2m_e c} \right)$$

強磁性体の基底状態からの励起を考える

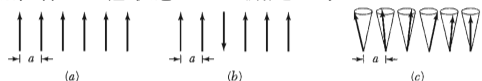


Figure 8 (a) Classical picture of the ground state of a simple ferromagnet; all spins are parallel. (b) A possible excitation; one spin is reversed. (c) The low-lying elementary excitations are spin waves. The ends of the spin vectors precess on the surfaces of cones, with successive spins advanced in phase by a constant angle.

C. Kittel "Introduction to Solid State Physics [8th ed]"

上記 (b) より (c) のようなスピン波の形がエネルギー的に有利

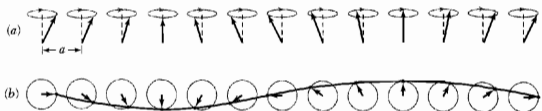


Figure 9 A spin wave on a line of spins. (a) The spins viewed in perspective. (b) Spins viewed from above, showing one wavelength. The wave is drawn through the ends of the spin vectors.

スピン波の量子力学的定式化：マグノン

簡単のため、1次元ハイゼンベルグ模型 ($J > 0$) + 外部磁場 \vec{B} を考える

$$H = -J \sum_{\ell} \vec{S}_{\ell} \cdot \vec{S}_{\ell+1} - g_e \mu_B \sum_i \vec{B} \cdot \vec{S}_{\ell},$$

磁場はスピンの方向にかけることとする : $\vec{B} = B_0 \hat{z}$

ポイント：スピン演算子と（ボソン）生成消滅演算子を関係付ける

Holstein-Primakoff 変換

$$S_{\ell}^+ \equiv S_{\ell}^x + iS_{\ell}^y = \sqrt{2s} \sqrt{1 - \frac{c_{\ell}^\dagger c_{\ell}}{2s}} c_{\ell},$$

$$S_{\ell}^- \equiv S_{\ell}^x - iS_{\ell}^y = \sqrt{2s} c_{\ell}^\dagger \sqrt{1 - \frac{c_{\ell}^\dagger c_{\ell}}{2s}},$$

$$S_{\ell}^z = s - c_{\ell}^\dagger c_{\ell},$$

s は格子状のスピンの大きさ

正当化

単純な計算により、ボソンの交換関係

$$[c_{\ell}, c_m^\dagger] = \delta_{\ell m},$$

を仮定すれば、スピン演算子の交換関係が得られる

$$[S_{\ell}^+, S_m^-] = 2S_{\ell}^z \delta_{\ell m},$$

$$[S_{\ell}^z, S_m^\pm] = \pm S_{\ell}^\pm \delta_{\ell m}.$$

$n_{\ell} \equiv c_{\ell}^\dagger c_{\ell}$: スピンをいくつ反転したか
($\sum_{\ell} n_{\ell} =$ マグノンの数)

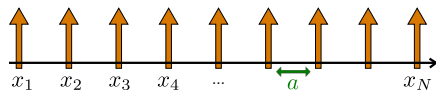
マグノンの分散関係

HP 変換して、生成消滅演算子の 2 次の項だけぬき出す

$$H = -J \sum_{\ell} \vec{S}_{\ell} \cdot \vec{S}_{\ell+1} - g_e \mu_B B_0 \sum_{\ell} S_{\ell}^z$$

$$H \simeq (\text{const.}) - 2Js \sum_{\ell} \left(c_{\ell} c_{\ell+1}^{\dagger} + c_{\ell}^{\dagger} c_{\ell+1} - s(n_{\ell} + n_{\ell+1}) \right) + g_e \mu_B B_0 \sum_{\ell} n_{\ell} + \mathcal{O}\left(\frac{c^4}{s}\right).$$

フーリエ変換



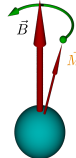
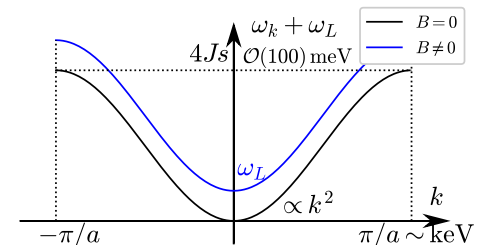
$$c_{\ell} = \frac{1}{\sqrt{N}} \sum_k e^{-ikx_{\ell}} c_k, \quad c_{\ell}^{\dagger} = \frac{1}{\sqrt{N}} \sum_k e^{ikx_{\ell}} c_k^{\dagger}.$$

2 次の項は対角化されて

$$H \simeq \sum_k \underbrace{[2Js(1 - \cos(ka))]}_{\omega_k} + \underbrace{g_e \mu_B B_0}_{\omega_L} c_k^{\dagger} c_k.$$

一般には対角化に際してポゴリューポフ変換が必要だが、今の模型では考える必要がない

分散関係

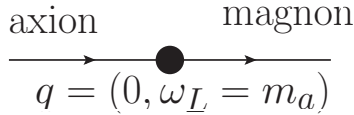


ω_L : 一様なスピン歳差運動の
ラモア周波数

Wikipedia "Larmor precession"

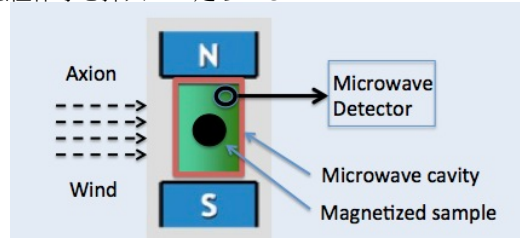
QUAX 実験

QUAX は axion haloscope 実験の 1 種だが、装置内に強磁性体球を挿入して走らせる

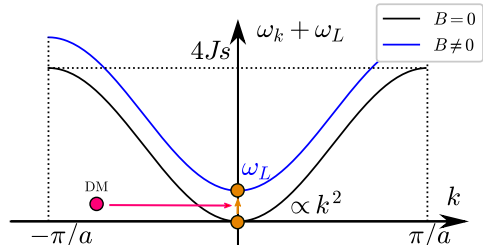


セットアップ

- ▶ アクションが $\vec{k} = 0$ マグノンに変化する過程を探す
- ▶ $B_0 \sim 1.7$ T, $\omega_L \sim 0.2$ meV
- ▶ B_0 をスキャンすることで、質量 m_a が $\mathcal{O}(0.1)$ meV
付近のアクションを探す



R. Barbieri + '16 QUAX proposal



マグノンと暗黒物質の相互作用（例：アクション）

アクションと電子スピンの相互作用から

次のアクションと電子の相互作用を考える

$$\mathcal{L}_{\text{int}} = \frac{1}{2f_a} (\partial_\mu a) \bar{\psi} \gamma^\mu \gamma_5 \psi. \quad (*)$$

スピノル部分と電子のスピン密度の演算子とは、
ざっくりと以下のように関係付けられる

$$\bar{\psi} \gamma^0 \gamma_5 \psi \sim \mathcal{O}(\vec{p}/m_e),$$

$$\bar{\psi} \gamma^i \gamma_5 \psi \sim 2S^i.$$

ラグランジアンに代入・変形して、

$$H_{\text{int}} = \frac{1}{f_a} \sum_{\ell} \nabla a(\vec{x}_\ell) \cdot \vec{S}_\ell.$$

▶ アクションを古典的な背景場と思う

$$a(\vec{x}, t) = a_0 \cos(m_a t - m_a \vec{v}_a \cdot \vec{x} + \delta).$$

▶ \vec{S}_ℓ はマグノンの演算子で書き換え

$$H_{\text{int}} \simeq \sin(m_a t + \delta) \left(\sqrt{\frac{sN}{2}} \frac{m_a a_0 v_a^+}{f_a} \color{red}{c_{\vec{k}=0}^\dagger} + \text{h.c.} \right).$$

ただし、 $v_a^+ \equiv v_a^x \pm i v_a^y$

解釈

▶ アクション背景場は十分一様；

$$(m_a v_a)^{-1} \sim \mathcal{O}(1) \text{ m} \gg (\text{試料サイズ}) \text{ なので、}$$

$\vec{k} = 0$ のモードしか励起されない

▶ N 個のスピンと同時に反応するので、

$$H_{\text{int}} \propto \sqrt{N}$$

信号率の評価

解くべき問題

真空状態 $|0\rangle$ から 1 マグノン状態 $|1\rangle$ への遷移率を

▶ $c_0 |0\rangle = 0, \quad c_0^\dagger |0\rangle = |1\rangle,$

以下のハミルトニアンの元で計算する

$$H_0 = \omega_L c_0^\dagger c_0,$$

$$H_{\text{int}} = \sin(m_a t + \delta) \left(V c_0^\dagger + \text{h.c.} \right).$$

遷移率

初期条件 $|\psi(t=0)\rangle = |0\rangle$ のもと、以下を解く

$$i\partial_t |\psi(t)\rangle = (H_0 + H_{\text{int}}) |\psi(t)\rangle$$

遷移率の表式は

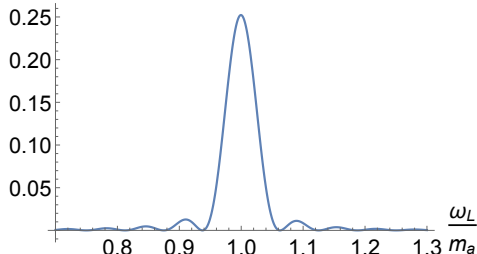
$$P(t) \equiv |\langle 1 | \psi(t) \rangle|^2$$

教科書を思い出すと $\lim_{t \rightarrow \infty} P(t) \propto \delta(\omega_L - m_a)$

観測時間 t の限界

- ▶ アクションの coherence time $\tau_a \sim (m_a v_a^2)^{-1}$
- ▶ マグノンの寿命 τ_m
- ▶ $\tau \equiv \min(\tau_a, \tau_m) \gg m_a^{-1}$

$$P(m_a t = 100)$$



- ▶ $\omega_L \simeq m_a$ ではひときわ感度が高い

信号率の評価

QUAX は 50% の効率でマグノンを検出できることを考慮に入れて

$$\frac{dN_{\text{signal}}}{dt} = \left. \frac{P(\tau)}{2\tau} \right|_{\omega_L = m_a}$$

アクションの場合

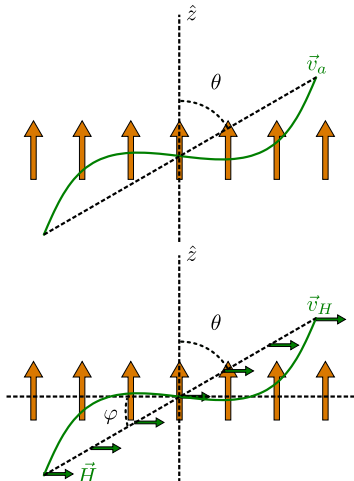
$$\frac{dN_{\text{signal}}}{dt} \simeq 0.025 \text{ s}^{-1} \left(\frac{10^{10} \text{ GeV}}{f_a} \right)^2 \left(\frac{M_{\text{YIG}}}{1 \text{ kg}} \right) \left(\frac{v_a}{10^{-3}} \right)^2 \left(\frac{\tau}{2 \mu\text{s}} \right) \left(\frac{\sin^2 \theta}{1/2} \right),$$

暗黒光子の場合

$$\frac{dN_{\text{signal}}}{dt} \simeq 0.24 \text{ s}^{-1} \left(\frac{\epsilon}{10^{-12}} \right)^2 \left(\frac{M_{\text{YIG}}}{1 \text{ kg}} \right) \left(\frac{v_H}{10^{-3}} \right)^2 \left(\frac{\tau}{2 \mu\text{s}} \right) \left(\frac{\sin^2 \theta \sin^2 \varphi}{1/4} \right),$$

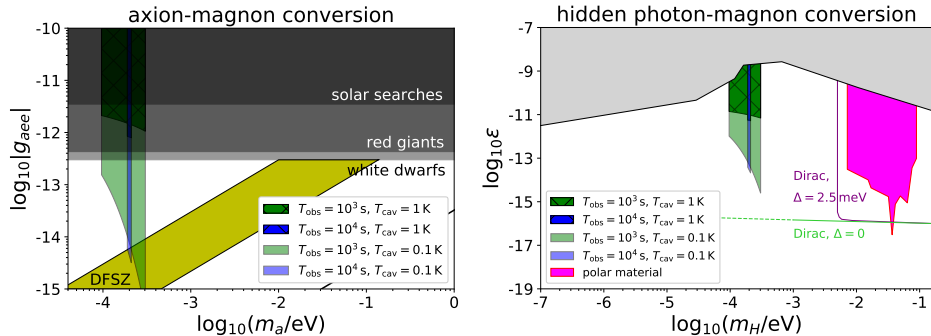
解釈

小さい信号率、1 マグノン状態が重要なので、量子力学的計算を行うのが重要（ただしこの場合、古典的な計算をしても結果は一致する）



結果

- ▶ 信号・ノイズ比 (SNR) > 3 を要求して感度を見積もる
- ▶ 熱雑音が支配的な状況を仮定 $T_{\text{noise}} \simeq T_{\text{cav}} = 1, 0.1 \text{ K}$
- ▶ 総観測時間を固定して、磁場の各スキャンステップの時間幅を変える $T_{\text{obs}} = 10^{3-4} \text{ s}$



- ▶ (もっとも理想的なセットアップで) DFSZ アクションのパラメータ領域を探れる
- ▶ 重い領域では熱雑音がボルツマン因子により抑制され、感度が高い
- ▶ もっと重い領域を探るためにには、より大きな磁場が必要
- ▶ もっと軽い領域を探るためにには、より注意してノイズを落とす必要がある

議論と結論

我々の論文のポイント

- ▶ 暗黒物質がマグノンに（ спин波） 変換される過程の量子力学的定式化を（素粒子論屋さんに親しみの深いやり方で） 行った
他の暗黒物質候補や他の過程にも応用可能
- ▶ アクションや暗黒光子にその計算を応用した
応用の 1 例
- ▶ 結果の図を描いた
今走っている Axion haloscope は $a\gamma\gamma$ 相互作用を見るが、マグノンを用いた実験は aee 相互作用を見るので、アクションの模型を区別するのに役立つ

ご質問よろしくお願ひします